



ОБЪЕДИНЕННЫЙ ИНСТИТУТ ЯДЕРНЫХ ИССЛЕДОВАНИЙ

ЛАБОРАТОРИЯ ТЕОРЕТИЧЕСКОЙ ФИЗИКИ

Лю И-чень и И.Т. Тодоров

P-1272

ОСОБЕННОСТИ НЕКОТОРЫХ ДИАГРАММ ФЕЙНМАНА

*Нисл. Phys., 1964, v 50, n 2, p 273-280.*

Дубна 1963 год

**"ОСОБЕННОСТИ НЕКОТОРЫХ ДИАГРАММ ФЕЙНМАНА"**

Рассмотрены примеры применения полученных ранее параметрических уравнений для собственных особенностей графов Фейнмана к некоторым диаграммам рассеяния.

**Препринт Объединенного института ядерных исследований.  
Дубна 1963 г.**

---

P - 1272

Lin Yi-chen and Todorov J.T. Singularities of Some Feynman Graphs.

Applications of the parametric equations obtained earlier for the proper singularities of the Feynman graphs to some scattering diagrams are treated.

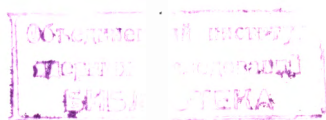
**Preprint. Joint Institute for Nuclear Research.  
Dubna. 1963.**

---

Лю И-чень и И.Т. Тодоров

P-1272

ОСОБЕННОСТИ НЕКОТОРЫХ ДИАГРАММ ФЕЙНМАНА



Дубна 1963 год

1905/48

## В в е д е н и е

В работе <sup>/1/</sup> было показано, что собственные особенности произвольной диаграммы Фейнмана описываются параметрическими уравнениями

$$p_i = \sum_{\nu=1}^{\ell} \epsilon_{i\nu} m_{\nu} \frac{R_{\nu}}{|R_{\nu}|}, \quad i = 1, \dots, n, \quad /1.1/$$

где

$$R_{\nu} = \sum_{j=1}^n \epsilon_{j\nu} x_j, \quad \nu = 1, \dots, \ell. \quad /1.2/$$

Здесь  $n$  - число узлов рассматриваемого графа,  $\ell$  - число его внутренних линий,  $m_{\nu}$  - масса на линии  $\nu$ ,  $\{\epsilon_{i\nu}\}$  - матрица инцидентий графа:

$$\begin{aligned} \epsilon_{i\nu} &= 1, \text{ если линия } \nu \text{ выходит из узла } i, \\ \epsilon_{i\nu} &= -1, \text{ если линия } \nu \text{ входит в узел } i, \\ \epsilon_{i\nu} &= 0, \text{ если узел } i \text{ не принадлежит линии } \nu, \end{aligned}$$

/см. также <sup>/3/</sup>. Четырехмерные векторы  $x_i$  /координаты узлов/ являются параметрами в уравнениях поверхности особых точек /1.1/. Комплексные особые точки получаются при комплексных значениях составляющих векторов  $x_i$ . Если узел  $i_0$  внутренний, то мы полагаем  $p_{i_0} = 0$  и /1.1/ дает тогда некоторую связь между параметрами  $x_i$ .

Уравнения /1.1/ эквивалентны уравнениям Ландау <sup>/2/</sup> для собственных особенностей диаграммы. Параметры Фейнмана  $a_{\nu}$  связаны с длинами  $|R_{\nu}|$  формулой

$$m_{\nu} a_{\nu} = C |R_{\nu}|, \text{ где } C \text{ - положительная постоянная /если } a_{\nu} \text{ нормированы условием } \sum_{\nu=1}^{\ell} m_{\nu}^2 a_{\nu} = 1, \text{ то } C = 1/.$$

В записи /1.1/ обнаруживается тесная связь между аппаратом, использованным в теории мажорирования графов Фейнмана <sup>/3/</sup>, и уравнениями для особых точек диаграммы.

Кроме того, уравнения /1.1/ дают практически удобное средство для нахождения собственных особенностей конкретных диаграмм, так как они позволяют выразить все импульсы на особой поверхности через минимальное число независимых векторов. Особенно упрощаются выкладки в случае, когда диаграмма симметрична и все массы равны /даже если в диаграмме имеется несколько независимых контуров/.

В настоящей заметке мы проиллюстрируем эффективность уравнений /1.1/ на нескольких нетривиальных примерах. Изучение таких примеров полезно для проверки справедливости различных гипотетических спектральных представлений /в первую очередь для проверки представления Мандельстама/. Отметим, однако, что ценность подобных исследований несомненно возрастет, если будет найден общий алгебраический критерий, позволяющий решать, какие комплексные точки, удовлетворяющие уравнениям особой

поверхности, действительно являются особыми точками на физическом листе амплитуды.

## § 2. Диаграмма рассеяния с трехчастичным промежуточным состоянием

В качестве первого примера рассмотрим диаграмму рассеяния частиц с одинаковой массой  $m = 1$ , изображенную на рис. 1

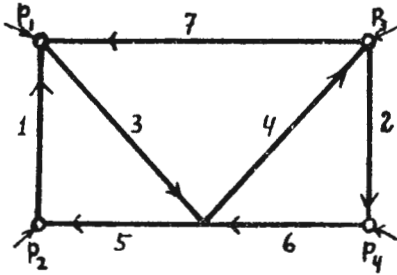


Рис. 1

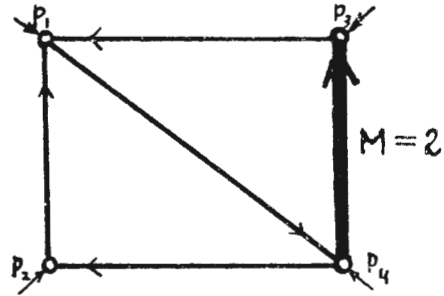


Рис. 2

“Нормальные” пороги этой диаграммы /являющиеся особенностями низших диаграмм/ равны

$$s = 9, \quad t = 16. \quad /2.1/$$

Мы найдем все остальные особенности графа рис. 1, которые складываются из собственных особенностей этого графа <sup>/1,2/</sup> и из особенностей графов, полученных стягиванием линии 6 или линии 5 в точку /первый из этих графов изображен на рис 2/. Покажем, что на физическом листе у вклада от диаграммы рис. 1 в амплитуду рассеяния нет комплексных особенностей по  $t$  при вещественных  $s$ .

Начнем с изучения собственных особенностей диаграммы рис. 1. Введем следующие обозначения:

$$\lambda_\nu = |R_\nu| = \sqrt{R_\nu^2}, \quad \eta_{ij} = \frac{(R_i R_j)}{\lambda_i \lambda_j}, \quad /2.2/$$

где векторы  $R_\nu$  заданы формулой /1.2/. Из /1.2/ следует, что сумма векторов  $R_\nu$  по любому замкнутому контуру графа равна нулю. Таким образом, мы получаем три независимых векторных равенства:

$$R_1 + R_3 + R_5 = 0, \quad R_2 + R_6 + R_4 = 0, \quad R_3 + R_4 + R_7 = 0. \quad /2.3/$$

Условие, что внешние импульсы  $p_i$  лежат на поверхности масс

$$p_1^2 = p_2^2 = p_3^2 = p_4^2 = 1, \quad /2.4/$$

дает четыре дополнительных связи на параметры  $\lambda$  и  $\eta$  /в силу /1.1//. Наконец, равенство нулю внешнего импульса в узле 5 приводит в силу /1.3/ к соотношению:

$$\frac{R_3}{\lambda_3} + \frac{R_6}{\lambda_6} = \frac{R_4}{\lambda_4} + \frac{R_5}{\lambda_5}. \quad /2.5/$$

Наша цель - выразить все параметры  $\lambda_\nu$  и  $\eta_{ij}$  через один из них /например, через  $\lambda_7/\lambda_1/$  при помощи уравнений /2.2/-/2.5/ и подставить полученные выражения в уравнениях для  $s$  и  $t$  :

$$s = (p_1 + p_2)^2 = 3 - 2(\eta_{35} + \eta_{37} - \eta_{57}), \quad /2.6/$$

$$t = (p_1 + p_3)^2 = 4 - 2(\eta_{12} + \eta_{13} + \eta_{24} + \eta_{34} - \eta_{14} - \eta_{23}).$$

Наметим основные этапы этой, в принципе элементарной, но весьма громоздкой процедуры исключения 21 параметра  $\eta_{ij}$  и шести параметров  $\lambda_\nu$ .

Равенства /2.3/ выражают тот /очевидный геометрически/ факт, что диаграмма рис. 1 состоит из трех треугольников, образованных соответственно из векторов  $(R_1, R_3, R_5)$ ,  $(R_3, R_4, R_7)$  и  $(R_4, R_2, R_6)$ . Девять из двадцати одного параметра  $\eta_{ij}$  определяются тем, что они равны, с точностью до знака, косинусам углов в этих треугольниках:

$$\eta_{15} = \frac{\lambda_2^2 - \lambda_1^2 - \lambda_5^2}{2\lambda_1\lambda_5}, \quad \eta_{34} = \frac{\lambda_7^2 - \lambda_3^2 - \lambda_4^2}{2\lambda_3\lambda_4}, \dots \quad /2.7/$$

/равенства /2.7/ могут быть, конечно, получены и чисто аналитически из уравнений /2.3/. Умножая скалярно на  $R_\nu$  /  $\nu = 1, \dots, 7/$  каждое из уравнений /2.3/, мы получаем, наряду с равенствами типа /2.7/, еще следующие 9 независимых уравнений:

$$\begin{aligned} \gamma_{12} &= \frac{1}{2}(-\lambda_1^2 - \lambda_2^2 + \lambda_5^2 + \lambda_6^2 + \lambda_7^2) + \gamma_{56} - \gamma_{57} - \gamma_{67}, \\ \gamma_{14} &= \frac{1}{2}(\lambda_1^2 + \lambda_4^2 - \lambda_5^2 - \lambda_7^2) + \gamma_{57}, \\ \gamma_{16} &= \frac{1}{2}(\lambda_2^2 - \lambda_4^2 - \lambda_6^2) - \gamma_{56} + \gamma_{67}, \\ \gamma_{17} &= \frac{1}{2}(\lambda_3^2 - \lambda_4^2 + \lambda_7^2) - \gamma_{57}, \\ \gamma_{23} &= \frac{1}{2}(\lambda_2^2 + \lambda_3^2 - \lambda_6^2 - \lambda_7^2) + \gamma_{67}, \\ \gamma_{25} &= \frac{1}{2}(\lambda_1^2 - \lambda_3^2 - \lambda_5^2) - \gamma_{56} + \gamma_{57}, \\ \gamma_{27} &= \frac{1}{2}(-\lambda_3^2 + \lambda_4^2 + \lambda_7^2) - \gamma_{67}, \\ \gamma_{36} &= \frac{1}{2}(-\lambda_2^2 + \lambda_4^2 + \lambda_6^2) - \gamma_{67}, \\ \gamma_{45} &= \frac{1}{2}(-\lambda_1^2 + \lambda_3^2 + \lambda_5^2) - \gamma_{57}, \end{aligned} \quad (28)$$

где

$$\gamma_{\mu\nu} = \lambda_\mu \lambda_\nu \eta_{\mu\nu}. \quad /2.8/$$

Уравнение /2.5/ эквивалентно, со своей стороны, системе скалярных уравнений:

$$\eta_{36} = \eta_{45}, \quad \eta_{34} = \eta_{56}, \quad \eta_{35} = \eta_{46}, \quad \eta_{34} + \eta_{35} - \eta_{36} = 1. \quad /2.10/$$

Уравнения /2.7/-/2.10/ позволяют легко выразить все косинусы  $\eta_{ij}$  через длины  $\lambda_\nu$ .

Перейдем теперь к исключению параметров  $\lambda_\nu$ . Равенства  $\rho^2 = \rho_2^2 = \rho_4^2 = 1$  могут быть записаны в виде:

$$\eta_{15} = \eta_{26} = \frac{1}{2}, \quad /2.11/$$

где  $\eta_{15}$  и  $\eta_{26}$  выражаются через  $\lambda_\nu$  посредством /2.7/. Из условия совместности уравнений /2.3/ /см. /1,2/ / следует, что

$$K(\eta_{15}, \eta_{13}, \eta_{35}) = K(\eta_{34}, \eta_{37}, \eta_{47}) = K(\eta_{26}, \eta_{46}, \eta_{24}) = 0, \quad /2.12/$$

где

$$K(z_1, z_2, z_3) = z_1^2 + z_2^2 + z_3^2 - 2z_1z_2z_3 - 1. \quad /2.13/$$

Из /2.10/-/2.12/ следует, что углы в треугольниках со сторонами /1,3,5/ и /2,6,4/ соответственно равны, и, следовательно, эти два треугольника подобны:

$$\frac{\lambda_2}{\lambda_1} = \frac{\lambda_4}{\lambda_3} = \frac{\lambda_6}{\lambda_5} \equiv \rho. \quad /2.14/$$

С другой стороны, из /2.11/ находим

$$\lambda_5 = \frac{1}{2}(\sqrt{4\lambda_3^2 - 3\lambda_1^2} - \lambda_1). \quad /2.15/$$

Равенства  $\rho^2 = \rho_3^2 = 1$  с учетом /2.14/ и /2.15/ могут быть приведены к форме:

$$\begin{aligned} (\rho+1)^2 \lambda_3^3 = & [-(\rho+1)^2 \lambda_3^2 + (\rho+1) \lambda_1 \lambda_3 + \lambda_7 (\lambda_1 + \lambda_7)] \frac{1}{2} \sqrt{4\lambda_3^2 - 3\lambda_1^2} + \\ & + \frac{1}{2} (3-\rho) (1+\rho) \lambda_1 \lambda_3^2 + \lambda_3 [(\lambda_1 + \lambda_7)^2 + \frac{3\rho+1}{2} \lambda_1^2] + \frac{\lambda_1 \lambda_7}{2} (\lambda_7 + 3\lambda_1), \end{aligned} \quad /2.16a/$$

$$\begin{aligned} (\rho+1)^2 \lambda_3^3 = & \frac{1}{2} [-(\rho+1)^2 \lambda_3^2 + \rho(\rho+1) \lambda_1 \lambda_3 + \lambda_7 (\lambda_7 + \rho \lambda_1)] \sqrt{4\lambda_3^2 - 3\lambda_1^2} + \\ & + \frac{1}{2} (3\rho-1) (1+\rho) \lambda_1 \lambda_3^2 + \lambda_3 [(\rho \lambda_1 + \lambda_7)^2 + \rho/2 (3+\rho) \lambda_1^2] + \frac{1}{2} \lambda_1 \lambda_7 (\lambda_7 + 3\rho \lambda_1) \end{aligned} \quad /2.16b/$$

Вычитая /2.16b/ из /2.16a/, находим:

$$\lambda_1 (1-\rho) [\lambda_7 + (1+\rho) \lambda_3] [4\lambda_3 + 3\lambda_1 + \sqrt{4\lambda_3^2 - 3\lambda_1^2}] = 0,$$

откуда для собственных особенностей графа на физическом листе получаем

$$\rho = 1, \quad \lambda_1 = \lambda_2, \quad \lambda_3 = \lambda_4, \quad \lambda_5 = \lambda_6. \quad /2.17/$$

При  $\rho \neq 1$  каждое из двух уравнений /2.16/ приводится к виду:

$$\lambda_1 (\lambda_1 + \lambda_3) (\lambda_7 + 2\lambda_3) [\lambda_7^2 + 3(\lambda_1 - 2\lambda_3) \lambda_7 + 3\lambda_1 (\lambda_1 - \lambda_3)] = 0. \quad /2.18/$$

В случае собственных особенностей рассматриваемого графа, лежащих на физическом листе, лишь последний множитель в /2.18/ может обращаться в нуль. Поэтому:

$$\lambda_3 = \frac{\lambda_7^2 + 3\lambda_1\lambda_7 + 3\lambda_1^2}{3\lambda_1 + 2\lambda_7} . \quad /2.19/$$

При этом значении  $\lambda_3$

$$\sqrt{4\lambda_3^2 - 3\lambda_1^2} = \frac{2\lambda_7^2 + 6\lambda_7\lambda_1 + 3\lambda_1^2}{2\lambda_7 + 3\lambda_1} , \quad \lambda_5 = \frac{\lambda_7(\lambda_7 + 2\lambda_1)}{2\lambda_7 + 3\lambda_1} . \quad /2.20/$$

Подставляя /2.17/-/2.20/ в решения  $\eta_{\mu\nu}$  системы /2.8/ - /2.10/, мы получим в силу /2.6/ следующее параметрическое уравнение для особой кривой диаграммы рис 1:

$$1/3(s-9) = 2/\lambda - \frac{1}{\lambda^2 + 3\lambda + 3} = \frac{2\lambda^2 + 5\lambda + 6}{\lambda(\lambda^2 + 3\lambda + 3)} , \quad /2.21/$$

$$\frac{1}{3}t = \frac{(\lambda + 2)^3}{(\lambda^2 + 3\lambda + 3)^2} (4\lambda^2 + 9\lambda + 6) ,$$

где

$$\lambda = \frac{\lambda_7}{\lambda_1} . \quad /2.22/$$

"Физическая" ветвь особой кривой определяется условием, что при  $s \rightarrow 9$  ,  $\lambda \rightarrow \infty$  /можно показать непосредственным исследованием амплитуды, что при вещественном  $s \leq 9$  она не может иметь комплексных особенностей по  $t$  /. Отсюда следует, что особая кривая на физическом листе при  $s > 9$  получается, когда параметр  $\lambda$  в /2.21/ вещественен и положителен:

$$0 < \lambda < \infty . \quad /2.23/$$

Асимптотами особой кривой являются прямые /2.1/. Вблизи этих прямых особая кривая удовлетворяет следующим асимптотическим соотношениям, полученным из /2.21/ при  $\lambda \rightarrow \infty$  и  $\lambda \rightarrow 0$  :

$$t \approx \frac{72}{s-9} + 21 \quad /при s \rightarrow 9, t \rightarrow \infty / ,$$

$$s \approx \frac{96}{t-16} + 8 \quad /при t \rightarrow 16, s \rightarrow \infty / .$$

Как известно, /см., например, /4/ / у диаграммы рис. 2 тоже нет комплексных особенностей на физическом листе. Это можно увидеть и изложенным выше методом, при помощи которого мы приходим к следующему уравнению для собственных особенностей графа рис. 2 на физическом листе:

$$t = 16 \frac{s(s-4)}{(s-1)(s-9)} , \quad /s > 9 / . \quad /2.25/$$

В точности такие же особенности и у диаграммы, полученной из графа рис. 1 стягиванием линии 5<sup>x/</sup>.

<sup>x/</sup> Результаты этого параграфа показывают неправильность основного утверждения, сделанного в препринте Кима /5/ .



### § 3. Диаграмма рассеяния, образованная ребрами и вершинами тетраэдра

В качестве второго примера найдем собственные особенности диаграммы рассеяния в форме тетраэдра, изображенной на рис. 3 /этот граф иногда называется

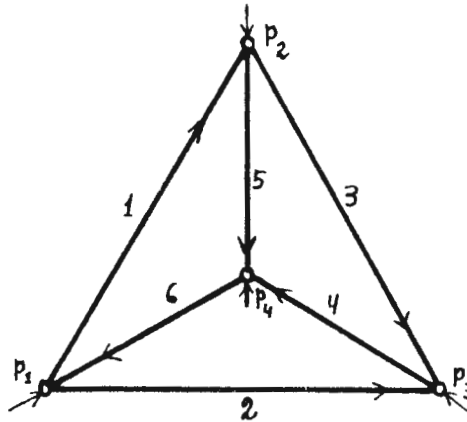


Рис. 3.

распечатанным конвертом /см<sup>6</sup>/ //, В<sup>1</sup>/ были найдены собственные особенности этого графа в случае, когда массы на всех линиях /внутренних и внешних/ равны между собой. Здесь мы рассмотрим несколько более общий случай: предположим лишь, что массы на внутренних линиях, не имеющих общих узлов, попарно равны и что все внешние массы равны друг другу:

$$m_1 = m_4, \quad m_2 = m_5, \quad m_3 = m_6, \quad /3.1/$$

$$p_1^2 = p_2^2 = p_3^2 = p_4^2 = M^2 \quad /3.2/$$

Из /3.1/ и /3.2/ следует равенство длин  $\lambda_v$  /2.2/ на линиях 1 и 4, 2 и 5, 3 и 6. Это утверждение можно доказать по аналогии с § 2, исходя из полной системы уравнений для углов и длин, входящих в диаграмму и устанавливая равенство треугольников с вершинами /1,2,4/, /3,4,2/ и /4,3,1/. Проще можно прийти к этому же заключению по следующей схеме.

Равенство квадратов внешних импульсов эквивалентно взаимной ортогональности векторов

$$q_1 = p_1 + p_2, \quad q_2 = p_1 + p_3, \quad q_3 = p_2 + p_3, \quad /3.3/$$

$$q_1 q_2 = q_2 q_3 = q_1 q_3 = 0; \quad q_1^2 = s, \quad q_2^2 = t, \quad q_3^2 = u. \quad /3.4/$$

Векторы  $R_v$  /1.2/ инварианты относительно трансляции всех  $x_i$  на один и тот же вектор. Поэтому удобно ввести вместо векторов  $x_i$  три независимых вектора  $\xi_1, \xi_2, \xi_3$ , определяемых равенством

$$p_1 x_1 + p_2 x_2 + p_3 x_3 + p_4 x_4 = q_1 \xi_1 + q_2 \xi_2 + q_3 \xi_3. \quad /3.5/$$

Из сравнения /3.3/ и /3.5/ находим следующие связи между векторами  $x_i$  и  $\xi_i$

$$x_1 - x_4 = \xi_1 + \xi_2, \quad x_2 - x_4 = \xi_1 + \xi_3, \quad x_3 - x_4 = \xi_2 + \xi_3;$$

$$\xi_1 = \frac{1}{2}(x_1 + x_2 - x_3 - x_4), \quad \xi_2 = \frac{1}{2}(x_1 - x_2 + x_3 - x_4), \quad \xi_3 = \frac{1}{2}(-x_1 + x_2 + x_3 - x_4) \quad /3.6/$$

Пользуясь условиями ортогональности /3.4/ и равенствами /3.1/, можно показать /исходя из параметрических уравнений /1.1//, что векторы  $\xi_i$  попарно ортогональны;

$$\xi_1 \xi_2 = \xi_2 \xi_3 = \xi_1 \xi_3 = 0. \quad /3.7/$$

Отсюда непосредственно следует равенство длин несоседних сторон тетраэдра:

$$|R_1| = |R_4| = \sqrt{\xi_2^2 + \xi_3^2} \equiv \lambda_1, \quad |R_2| = |R_5| = \sqrt{\xi_1^2 + \xi_3^2} \equiv \lambda_2, \quad /3.8/$$

$$|R_3| = |R_6| = \sqrt{\xi_1^2 + \xi_2^2} \equiv \lambda_3.$$

Квадраты векторов  $\xi_i$  выражаются через длины  $\lambda$  по формуле:

$$\xi_i^2 = \frac{1}{2}(\lambda_j^2 + \lambda_k^2 - \lambda_i^2), \quad i = 1, 2, 3, \quad /3.9/$$

где  $(i, j, k)$  - перестановка чисел /1, 2, 3/.

В силу /1.1/ и /3.3/ - /3.6/ уравнения особой кривой диаграммы рис. 3 принимают вид:

$$s = 2\left(\frac{m_2}{\lambda_2} + \frac{m_3}{\lambda_3}\right)^2 (\lambda_2^2 + \lambda_3^2 - \lambda_1^2),$$

$$t = 2\left(\frac{m_1}{\lambda_1} + \frac{m_3}{\lambda_3}\right)^2 (\lambda_1^2 + \lambda_3^2 - \lambda_2^2), \quad /3.10/$$

$$u = 2\left(\frac{m_1}{\lambda_1} + \frac{m_2}{\lambda_2}\right)^2 (\lambda_1^2 + \lambda_2^2 - \lambda_3^2).$$

В силу однородности правой части /3.10/ относительно  $\lambda$  переменные  $s$ ,  $t$  и  $u$  зависят лишь от двух независимых параметров /например, от отношений  $\frac{\lambda_1}{\lambda_3}$  и  $\frac{\lambda_2}{\lambda_3}$ /. Один из них необходимо исключить из условия

$$s + t + u = 4M^2,$$

которое, в силу /3.10/, может быть записано в виде<sup>x/</sup>

$$M^2 - m_1^2 - m_2^2 - m_3^2 = m_1 m_2 m_3 \left\{ \frac{\lambda_1}{\lambda_2 \lambda_3} \left( \frac{\lambda_2}{m_2} + \frac{\lambda_3}{m_3} - \frac{\lambda_1}{m_1} \right) + \right. \quad /3.11/$$

$$\left. + \frac{\lambda_2}{\lambda_1 \lambda_3} \left( \frac{\lambda_1}{m_1} + \frac{\lambda_3}{m_3} - \frac{\lambda_2}{m_2} \right) + \frac{\lambda_3}{\lambda_1 \lambda_2} \left( \frac{\lambda_1}{m_1} + \frac{\lambda_2}{m_2} - \frac{\lambda_3}{m_3} \right) \right\}.$$

В случае равных масс на внутренних линиях

$$m_1 = m_2 = m_3 = m \quad /3.12/$$

уравнение /3.11/ упрощается и, накладывая нормировочное условие

$$\lambda_1 + \lambda_2 + \lambda_3 = 1,$$

<sup>x/</sup> Из /3.10/ и /3.11/ видно, в частности, ошибочность утверждения препринта<sup>/7/</sup>. Если  $M^2 = 2(m_1^2 + m_2^2 + m_3^2)$  и  $\frac{\lambda_1}{m_1} = \frac{\lambda_2}{m_2} = \frac{\lambda_3}{m_3}$ , то особенность получается лишь в точке  $s = s(m_1^2 + m_2^2 - m_3^2)$ ,  $t = s(m_1^2 + m_3^2 - m_2^2)$ , а не при произвольных  $s$  и  $t$ , как утверждается в /7/.

нетрудно исключить параметры  $\lambda_1$  и  $\lambda_2$  :

$$\lambda_1 = \frac{1}{2}(1 - \lambda + a), \quad \lambda_2 = \frac{1}{2}(1 - \lambda - a), \quad \lambda_3 = \lambda, \quad (3.13)$$
$$a = \left\{ \lambda^2 - \frac{(M^2 - 5m^2)(2\lambda - 1)\lambda}{(M^2 + 3m^2)\lambda - 4m^2} \right\}^{1/2}.$$

В случае, когда все массы равны ( $M = m$ ), мы снова приходим к особенно простому результату <sup>/1/</sup>:

$$s^{1/3} + t^{1/3} + u^{1/3} = (16m)^{1/3} \quad (3.14)$$

В заключение авторы выражают благодарность В.С. Владимирову, Г.И.Копылову, А.А. Логунову, В.П. Павлову, М.К. Поливанову, А.П. Рудик и Ю.А. Симонову за интерес к работе и полезные обсуждения.

#### Л и т е р а т у р а

1. А.А. Логунов, И.Т. Тодоров и Н.А. Черников. Гос.Соф.Унив. Физ.-мат.фак. 55, кн. 2 /1960/61/, 117.
2. Л.Д. Ландау. ЖЭТФ 37, /1959/ 62.
3. А.А. Логунов, И.Т. Тодоров и Н.А. Черников. ЖЭТФ. 42 /1962/ 1285.
4. В.Н. Грибов и И.Г. Дятлов. ЖЭТФ 42 /1962/ 196.
5. Y.S.Kim. Complex Singularities in Equal Mass Scatterin. University of Maryland (Preprint).
6. А.З. Паташинский, А.Н. Рудик и В.В. Судаков. ЖЭТФ 40 /1961/ 298.
7. N.Nakanishi. External Mass Singularity, University of Illinois (Preprint).

Рукопись поступила в издательский отдел  
22 апреля 1963 года.